

Dynamical analysis of euclidean algorithms

Benoît Daireaux

GREYC, Université de Caen

Joint works with Loïck Lohte, Véronique Maume-Deschamps et Brigitte Vallée

LORIA, Nancy

march 23rd 2006

Outline of the talk

- 1 Introduction
- 2 Dynamical analysis of euclidean algorithms
- 3 Application to accelerated algorithms
- 4 Analyse de l'algorithme LSB
- 5 Conclusion

Gcd computation

Integer gcd computation:

- gave rise to the eldest known algorithm...
- most complex of basic arithmetic operations
- intensively used in many areas: cryptography, computer algebra, rational computations...

Analyses of the algorithms:

- worst-case analyses not very useful
- average-case analysis \sim theoretical complement to experiments, helps to understand the mechanisms of the algorithms

Many families of algorithms

“Basics algorithms” (= sequence of divisions)

- MSB algorithms (Most Significant Bits)
Euclid and its variants: Centered, α -euclidean, By-Excess...
- LSB algorithms (Least Significant Bits)
- Mixed algorithms
Binary, Plus-Minus et generalisations

Accelerated algorithms (= simulation of the divisions on a truncated part of the integers)

- Lehmer-Euclide, Knuth-Schönhage, recursive LSB

State of the art

		Average case analysis	
		Digit cost	Bit comp.
MSB	Euclid	[Dix70], [Hei69], [Va]	[AV00], [Val00],
	Variants	[YK75], [Rie78], [Val03]	[Val00]
	α -euclidean	[BDV02]	[BDV02]
LSB		[DMDV05]	[DMDV05]
Mixed	Binary	[Bre76], [Va98a]	[Va98a]
Accelerated	Lehmer	[DV04]	[DV04]
	Knuth-Schönhage	[DLMV06]	[DLMV06]

		Distributional analysis	
		Digit cost	Bit Comp.
MSB	Euclid	[Hen94], [BV04],	[Lho05],
	Variants	[BV04]	
	α -euclidean		
LSB			
Mixed	Binary		
Accelerated	Lehmer		

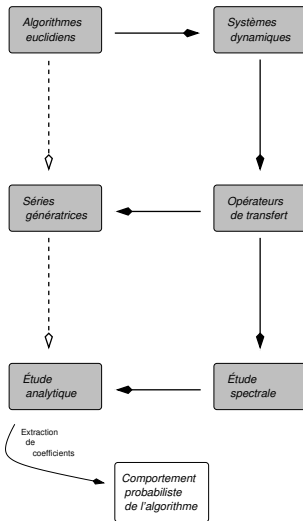
- 1 Introduction
 - Integer gcd algorithms
 - State of the art
- 2 Dynamical analysis of euclidean algorithms
 - General principle
 - An example: Euclid algorithm
- 3 Application to accelerated algorithms
 - The Knuth-Schönhage algorithm
 - Interrupted algorithms
- 4 Analyse de l'algorithme LSB
 - Extension continue
 - Produits de matrices aléatoires
- 5 Conclusion

Dynamical analysis: general principle

A dynamical analysis has 3 steps:

- 1 Modelization into a dynamical system:
Extension of divisions to a continuous world
- 2 Study of the continuous model
Statistical properties, evolution of densities, operators
- 3 Return to the discrete model

Dynamical analysis: general principle



Euclid algorithm

Let (u, v) be an input of the algorithm, $u \geq v$.

- The algorithm performs the sequence of divisions

$$u_0 = u_1 q_1 + u_2, \quad u_1 = u_2 q_2 + u_3, \dots, u_{p-1} = u_p q_p + 0,$$

$$q_{i+1} = \left\lfloor \frac{u_i}{u_{i+1}} \right\rfloor$$

- With $Q = \begin{pmatrix} 0 & 1 \\ 1 & q \end{pmatrix}$ the algorithm computes the sequence

$$\mathcal{M}_i := Q_1 \cdot Q_2 \cdot Q_3 \cdots Q_i$$

- in particular one has

$$\begin{pmatrix} u_1 \\ u_0 \end{pmatrix} = \mathcal{M}_i \cdot \begin{pmatrix} u_{i+1} \\ u_i \end{pmatrix}$$

Number of iterations of the Euclid algorithm

Study of the number of iterations $P(u, v)$ on the sets

$$\Omega := \{(u, v), \quad u > v \geq 0, \quad \text{pgcd}(u, v) = 1\},$$

$$\Omega_N := \{(u, v) \in \Omega, \quad \ell_2(u) = N\}$$

Number of iterations of the Euclid algorithm

Study of the number of iterations $P(u, v)$ on the sets

$$\Omega := \{(u, v), \quad u > v \geq 0, \quad \text{pgcd}(u, v) = 1\},$$

$$\Omega_N := \{(u, v) \in \Omega, \quad \ell_2(u) = N\}$$

Generating functions:

- $$F(s) = \sum_{(u,v) \in \Omega} \frac{P(u, v)}{u^s}$$

Number of iterations of the Euclid algorithm

Study of the number of iterations $P(u, v)$ on the sets

$$\Omega := \{(u, v), \quad u > v \geq 0, \quad \text{pgcd}(u, v) = 1\},$$

$$\Omega_N := \{(u, v) \in \Omega, \quad \ell_2(u) = N\}$$

Generating functions:

- $$F(s) = \sum_{n \geq 1} \frac{f_n}{n^s} \quad f_n = \sum_{\substack{(u,v) \in \Omega \\ u=n}} P(u, v)$$

Number of iterations of the Euclid algorithm

Study of the number of iterations $P(u, v)$ on the sets

$$\Omega := \{(u, v), \quad u > v \geq 0, \quad \text{pgcd}(u, v) = 1\},$$

$$\Omega_N := \{(u, v) \in \Omega, \quad \ell_2(u) = N\}$$

Generating functions:

$$\bullet \quad F(s) = \sum_{n \geq 1} \frac{f_n}{n^s} \quad f_n = \sum_{\substack{(u,v) \in \Omega \\ u=n}} P(u, v)$$

Average number of iterations on Ω_N :

$$\bullet \quad \mathbb{E}_N[P] = \frac{1}{|\Omega_N|} \sum_{k=2^{N-1}}^{2^N} f_k$$

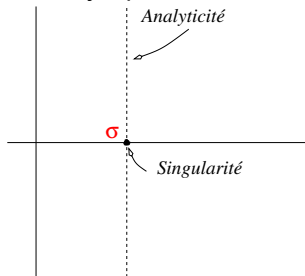
Théorème Taubérien

Théorème Soit $F(s)$ une série de Dirichlet à coefficients positifs telle que $F(s)$ converge pour $\Re(s) > \sigma > 0$. Si

- (i) $F(s)$ est analytique pour $\Re(s) = \sigma, s \neq \sigma$, et
- (ii) pour $\gamma \geq 0$, $F(s)$ s'écrit

$$F(s) = \frac{A(s)}{(s - \sigma)^{\gamma+1}} + C(s),$$

où $A(s)$ et $C(s)$ sont analytiques en $s = \sigma$ et $A(\sigma) \neq 0$,



Théorème Taubérien

Théorème Soit $F(s)$ une série de Dirichlet à coefficients positifs telle que $F(s)$ converge pour $\Re(s) > \sigma > 0$. Si

- (i) $F(s)$ est analytique pour $\Re(s) = \sigma, s \neq \sigma$, et
- (ii) pour $\gamma \geq 0$, $F(s)$ s'écrit

$$F(s) = \frac{A(s)}{(s - \sigma)^{\gamma+1}} + C(s),$$

où $A(s)$ et $C(s)$ sont analytiques en $s = \sigma$ et $A(\sigma) \neq 0$,
Alors,

$$\sum_{n=2^{N-1}}^{2^N} f_n = K_{\gamma,\sigma} \cdot 2^{\sigma N} \cdot N^\gamma \cdot [1 + \epsilon(N)],$$

$$K_{\gamma,\sigma} = \frac{A(\sigma)}{\sigma \Gamma(\gamma + 1)} (1 - 2^{-\sigma})(2 \log 2)^\gamma, \quad \lim_{N \rightarrow \infty} \epsilon(N) = 0.$$

Euclid algorithm and continued fractions

Introduction

Dynamical
analysis of
euclidean
algorithms

General principle

An example:
Euclid algorithm

Application to
accelerated
algorithms

Analyse de
l'algorithme
LSB

Conclusion

- An execution of the algorithm: $u_0 = u, \quad u_1 = v$

$$u_0 = u_1 q_1 + u_2, \quad u_1 = u_2 q_2 + u_3, \dots, \quad u_{p-1} = u_p q_p + 0$$

- Corresponds to the CFE of v/u :

$$\frac{v}{u} = \frac{1}{q_1 + \frac{1}{q_2 + \frac{1}{\ddots + \frac{1}{q_p}}}}$$

- $\frac{v}{u} = h_{q_1} \circ \dots \circ h_{q_p}(0), \quad h_q(x) = \frac{1}{q+x}$

Associated dynamical system

- The Gauss map $T(x) = \frac{1}{x} - \left\lfloor \frac{1}{x} \right\rfloor$ extends to \mathbb{R} the euclidean division:

$$u = vq + r \implies \frac{r}{v} = \frac{u}{v} - q = T\left(\frac{v}{u}\right)$$

- $S = ([0, 1], T)$ is the dynamical system corresponding to the algorithm
 - $T(x) = \frac{1}{x} - \left\lfloor \frac{1}{x} \right\rfloor$
 - Partition: $\left[\frac{1}{q+1}, \frac{1}{q} \right]$ ($T_q(x) = 1/x - q$)
 - \mathcal{H} = set of inverse branches:

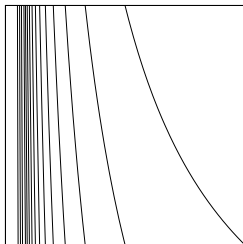
$$\mathcal{H} := \left\{ h_q; \quad h_q(x) = \frac{1}{q+x}, \quad q \geq 1 \right\}$$

Associated dynamical system

- The Gauss map $T(x) = \frac{1}{x} - \left\lfloor \frac{1}{x} \right\rfloor$ extends to \mathbb{R} the euclidean division:

$$u = vq + r \implies \frac{r}{v} = \frac{u}{v} - q = T\left(\frac{v}{u}\right)$$

- $S = ([0, 1], T)$ is the dynamical system corresponding to the algorithm



The Perron-Frobenius operator

Describes the evolution of densities with times

- let f be a density function on $[0, 1]$
- let $f_0 = f, f_1, f_2 \dots$ be the sequence of densities, then

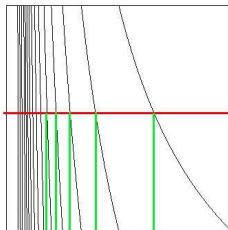
$$f_{i+1} = \mathbf{H}[f_i]$$

The Perron-Frobenius operator

Describes the evolution of densities with times

- let f be a density function on $[0, 1]$
- let $f_0 = f, f_1, f_2 \dots$ be the sequence of densities, then

$$f_{i+1} = \mathbf{H}[f_i]$$



The Perron-Frobenius operator

Describes the evolution of densities with times

- let f be a density function on $[0, 1]$
- let $f_0 = f, f_1, f_2 \dots$ be the sequence of densities, then

$$f_{i+1} = \mathbf{H}[f_i]$$

$$\mathbf{H}[f](x) = \sum_{h \in \mathcal{H}} |h'(x)| \cdot f \circ h(x)$$

The Perron-Frobenius operator

Describes the evolution of densities with times

- let f be a density function on $[0, 1]$
- let $f_0 = f, f_1, f_2 \dots$ be the sequence of densities, then

$$f_{i+1} = \mathbf{H}[f_i]$$

$$\mathbf{H}[f](x) = \sum_{h \in \mathcal{H}} |h'(x)| \cdot f \circ h(x)$$

For Euclid:

$$\mathbf{H}[f](x) = \sum_{q \geq 1} \left(\frac{1}{q+x} \right)^2 \cdot f \left(\frac{1}{q+x} \right)$$

The transfer operator

Main tool to rely discrete and continuous models

- built from \mathbf{H} by adding a complex s :

$$\mathbf{H}_s[f](x) = \sum_{h \in \mathcal{H}} |h'(x)|^s \cdot f \circ h(x)$$

The transfer operator

Introduction

Dynamical
analysis of
euclidean
algorithms

General principle

An example:
Euclid algorithm

Application to
accelerated
algorithms

Analyse de
l'algorithme
LSB

Conclusion

Main tool to rely discrete and continuous models

- built from \mathbf{H} by adding a complex s :

$$\mathbf{H}_s[f](x) = \sum_{h \in \mathcal{H}} |h'(x)|^s \cdot f \circ h(x)$$

Powers of the operator:

- multiplicative properties of derivatives:

$$\mathbf{H}_s^p[f](x) = \sum_{h \in \mathcal{H}^p} |h'(x)|^s \cdot f \circ h(x)$$

Generating properties

Bijection between $\Omega^{[p]}$ et \mathcal{H}^p

- let $(u, v) \in \Omega^{[p]} := \{(u, v) \in \Omega, P(u, v) = p\}$
- sequence of quotient q_1, q_2, \dots, q_p
- $\frac{v}{u} = h_{q_1} \circ h_{q_2} \circ \dots \circ h_{q_p}(0) = h(0), \quad h \in \mathcal{H}^p$

Generating properties

Bijection between $\Omega^{[p]}$ et \mathcal{H}^p

- let $(u, v) \in \Omega^{[p]} := \{(u, v) \in \Omega, P(u, v) = p\}$
- sequence of quotient q_1, q_2, \dots, q_p
- $\frac{v}{u} = h_{q_1} \circ h_{q_2} \circ \dots \circ h_{q_p}(0) = h(0), \quad h \in \mathcal{H}^p$

Generation of denominator :

- $h(x) = \frac{ax + b}{cx + d}, \quad |h'(0)| = \frac{|\det h|}{(D[h](0))^2}$
- $\det h = \pm 1, \quad \text{pgcd}(u, v) = 1 \implies |h'(0)|^s = \frac{1}{u^{2s}}$

Relations operators GF

- generating function: $F(s) = \sum_{(u,v) \in \Omega} \frac{P(u, v)}{u^s}$
- bijection between $\Omega^{[p]}$ et \mathcal{H}^p

$$\begin{aligned} \sum_{p \geq 1} p \mathbf{H}_s^p[1](0) &= \sum_{p \geq 1} p \sum_{h \in \mathcal{H}^p} |h'(0)|^s \\ &= \sum_{p \geq 1} \sum_{(u,v) \in \Omega^{[p]}} \frac{P(u, v)}{u^{2s}} \\ &= F(2s) \end{aligned}$$

The GF is expressed with the quasi-inverse $(I - \mathbf{H}_s)^{-1}$

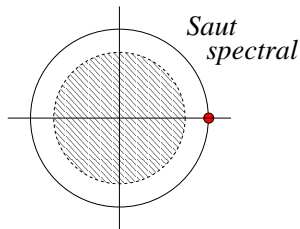
$$(I - \mathbf{H}_s)^{-1} \circ \mathbf{H}_s \circ (I - \mathbf{H}_s)^{-1}[1](0) = F(2s)$$

Study of functions replaced by study of operators

Spectral study of operators

Find a functional space such that:

- around $s = 1$ there exists a unique dominant eigenvalue, simple, $\lambda(s)$



Spectral study of operators

Find a functional space such that:

- around $s = 1$ there exists a unique dominant eigenvalue, simple, $\lambda(s)$

$$\Rightarrow \mathbf{H}_s^n[f](x) = \lambda^n(s)\mathbf{P}_s[f](x) + \mathbf{N}_s^n[f](x)$$

$$\Rightarrow (I - \mathbf{H}_s)^{-1}[f](x) \sim \frac{1}{s-1} \frac{-1}{\lambda'(1)} \psi(x) \int_0^1 f(t) dt$$

Spectral study of operators

Find a functional space such that:

- around $s = 1$ there exists a unique dominant eigenvalue, simple, $\lambda(s)$

$$\Rightarrow (I - \mathbf{H}_s)^{-1}[f](x) \sim \frac{1}{s-1} \frac{-1}{\lambda'(1)} \psi(x) \int_0^1 f(t) dt$$

- Spectral radius of the operator < 1 for $\Re(s) = 1, s \neq 1$

$$\Rightarrow s \mapsto (I - \mathbf{H}_s)^{-1} \text{ analytique sur la droite}$$

Spectral study of operators

Find a functional space such that:

- around $s = 1$ there exists a unique dominant eigenvalue, simple, $\lambda(s)$

$$\Rightarrow (I - \mathbf{H}_s)^{-1}[f](x) \sim \frac{1}{s-1} \frac{-1}{\lambda'(1)} \psi(x) \int_0^1 f(t) dt$$

- Spectral radius of the operator < 1 for $\Re(s) = 1, s \neq 1$

$$\Rightarrow s \mapsto (I - \mathbf{H}_s)^{-1} \text{ analytique sur la droite}$$

Choice of the functional space:

- for Euclid, one can choose $C^1([0, 1])$

Conclusion

Spectral conditions are satisfied:

- double quasi-inverse \rightarrow double pôle for the function $F(s)$:

$$F(s) \sim \left(\frac{1}{s-1} \right)^2 \left(\frac{-1}{\lambda'(1)} \right)^2$$

- linear average number of iterations
- derivative $\lambda'(1)$ expressed in terms of entropie of the system :

$$-\lambda'(1) = h(S)$$

Theorem *On the set Ω_N , the average number of iterations of Euclid algorithm is asymptotically linear,*

$$\mathbb{E}_N[P] \sim \frac{2 \log 2}{h(S)} \cdot N = \frac{12 \log^2 2}{\pi^2} \cdot N$$

- 1 Introduction
 - Integer gcd algorithms
 - State of the art
- 2 Dynamical analysis of euclidean algorithms
 - General principle
 - An example: Euclid algorithm
- 3 Application to accelerated algorithms
 - The Knuth-Schönhage algorithm
 - Interrupted algorithms
- 4 Analyse de l'algorithme LSB
 - Extension continue
 - Produits de matrices aléatoires
- 5 Conclusion

Acceleration of the algorithm

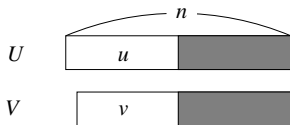
Computation of the sequence $Q_1 \cdot Q_2 \cdot Q_3 \cdots Q_p$

- Euclid : euclidean divisions: quadratic bit-complexity
- Lehmer[38] : only the first digits of u and v are necessary to compute q_1
→ a first acceleration, still quadratic
- Knuth[71], Schönhage [71] :
Lehmer + Divide and Conquer + Rapid Multiplication (FFT)
= $O(n \log^2 n \log \log n)$ algorithm

The \mathcal{HG} function

Property [Jebelean]

- Soient (U, V) , $\ell(U) = n$
 $(u, v) = T_{\lceil n/2 \rceil}(U, V)$



- Let $q_1, q_2 \dots$ and Q_1, Q_2, \dots be the sequences of quotients associated to the pairs (u, v) and (U, V)
- Let $u_0, u_1, u_2 \dots$ be the sequence of remainders of Euclid on input (a, b)
- Let u_k be the last remainder such that $\ell(u_k) > \ell(u_0)/2$.

Then the sequence of quotients q_i and Q_i are the same until $i = k - 2$.

The \mathcal{HG} function

Definition

- Let (u, v) with $u > v$ and $\ell(u) = n$.
- Let $u_0, u_1, u_2 \dots$ the sequence of remainders associated to (u, v)
- Let u_k the last remainder such that $\ell(u_k) > n/2$

Then the \mathcal{HG} function returns $(u_k, u_{k+1}, \mathcal{M}_k) = \mathcal{HG}(u, v)$
with

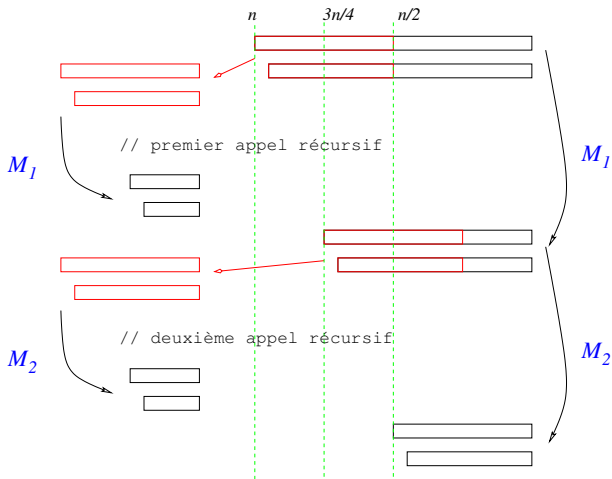
$$\mathcal{M}_k = Q_1 \cdot Q_2 \cdot Q_3 \cdots Q_{k-2}$$

Computation of \mathcal{HG}

- Interrupted euclid algorithms
- Knuth-Schönhage: sub-quadratic complexity

Knuth-Schönhage algorithm

Recursive computation of \mathcal{HG}



The algorithm \mathcal{HG}

Algorithm $\mathcal{HG}(U, V)$

```
1    $n := \ell(U)$ 
2   If  $n \leq S$  then return  $\widehat{\mathcal{E}}_{1/2}(U, V)$ 
3    $m := \lfloor n/2 \rfloor; k = n - m$ 
4    $(u, v) := T_m(U, V)$ 
5    $(c, d, \mathcal{M}_1) := \mathcal{HG}(u, v)$ 
6    $(C; D) := \mathcal{M}_1^{-1}(U; V)$ 
7   Adjust1 $(C, D, \mathcal{M}_1)$ 
8    $(c, d) := T_k(C, D)$ 
9    $(e, f, \mathcal{M}_2) := \mathcal{HG}(c, d)$ 
10   $(E; F) := \mathcal{M}_2^{-1}(C; D)$ 
11  Adjust2 $(E, F, \mathcal{M}_2)$ 
12  Return  $(E, F, \mathcal{M} := \mathcal{M}_1 \cdot \mathcal{M}_2)$ 
```

Comments

1	$n := \ell(U)$
2	If $n \leq S$ then return $\hat{\mathcal{E}}_{1/2}(U, V)$

- If $\ell(U)$ is smaller than a treshold S , use euclid to compute $\mathcal{HG}(U, V, S)$.
- In practice: S fixed, computed experimentaly

Comments

1	$n := \ell(U)$
2	If $n \leq S$ then return $\hat{\mathcal{E}}_{1/2}(U, V)$
3	$m := \lfloor n/2 \rfloor; k = n - m$
4	$(u, v) := T_m(U, V)$
5	$(c, d, \mathcal{M}_1) := \mathcal{HG}(u, v, S)$

- First recursive call on integers of size $n/2$
- Matrix \mathcal{M}_1 of size $n/4$

Comments

1	$n := \ell(U)$
2	If $n \leq S$ then return $\widehat{\mathcal{E}}_{1/2}(U, V)$
3	$m := \lfloor n/2 \rfloor; k = n - m$
4	$(u, v) := T_m(U, V)$
5	$(c, d, \mathcal{M}_1) := \mathcal{HG}(u, v, S)$
6	$(C; D) := \mathcal{M}_1^{-1}(U; V)$
7	$\text{Adjust}_1(C, D, \mathcal{M}_1)$

- Multiplication matrix \times vector.
- The pair (C, D) is of size $3n/4$.
- Function Adjust_1 : one euclidean division to ensure $\ell(C) < 3n/4$.

Comments

1	$n := \ell(U)$
2	If $n \leq S$ then return $\widehat{\mathcal{E}}_{1/2}(U, V)$
3	$m := \lfloor n/2 \rfloor; k = n - m$
4	$(u, v) := T_m(U, V)$
5	$(c, d, \mathcal{M}_1) := \mathcal{HG}(u, v, S)$
6	$(C; D) := \mathcal{M}_1^{-1}(U; V)$
7	$\text{Adjust}_1(C, D, \mathcal{M}_1)$
8	$(c, d) := T_k(C, D)$
9	$(e, f, M_2) := \mathcal{HG}(c, d, S)$

- Second recursive call on integers of size $n/2$.

Comments

```

1       $n := \ell(U)$ 
2      If  $n \leq S$  then return  $\widehat{\mathcal{E}}_{1/2}(U, V)$ 
3       $m := \lfloor n/2 \rfloor; k = n - m$ 
4       $(u, v) := T_m(U, V)$ 
5       $(c, d, \mathcal{M}_1) := \mathcal{HG}(u, v, S)$ 
6       $(C; D) := \mathcal{M}_1^{-1}(U; V)$ 
7      Adjust1( $C, D, \mathcal{M}_1$ )
8       $(c, d) := T_k(C, D)$ 
9       $(e, f, \mathcal{M}_2) := \mathcal{HG}(c, d, S)$ 
10      $(E; F) := \mathcal{M}_2^{-1}(C; D)$ 
11     Adjust2( $E, F, \mathcal{M}_2$ )
    
```

- Multiplication matrix \times vector.
- The pair (C, D) is of size $n/2$.
- Function Adjust₂ : to ensure that Jebelean criterion is satisfied, eventually undo some divisions

Comments

```

1       $n := \ell(U)$ 
2      If  $n \leq S$  then return  $\widehat{\mathcal{E}}_{1/2}(U, V)$ 
3       $m := \lfloor n/2 \rfloor$ ;  $k = n - m$ 
4       $(u, v) := T_m(U, V)$ 
5       $(c, d, \mathcal{M}_1) := \mathcal{HG}(u, v, S)$ 
6       $(C; D) := \mathcal{M}_1^{-1}(U; V)$ 
7      Adjust1( $C, D, \mathcal{M}_1$ )
8       $(c, d) := T_k(C, D)$ 
9       $(e, f, \mathcal{M}_2) := \mathcal{HG}(c, d, S)$ 
10      $(E; F) := \mathcal{M}_2^{-1}(C; D)$ 
11     Adjust2( $E, F, \mathcal{M}_2$ )
12     Return  $(E, F, \mathcal{M} := \mathcal{M}_1 \cdot \mathcal{M}_2)$ 

```

- Last multiplication between two matrices of size $n/2$

Complexity of the algorithm

Divide and conquer equation

$$B(n) = 2B\left(\frac{n}{2}\right) + 28\mu\left(\frac{n}{4}\right) + O(n)$$

where $\mu(n)$ is the cost of the division of two n bits integers

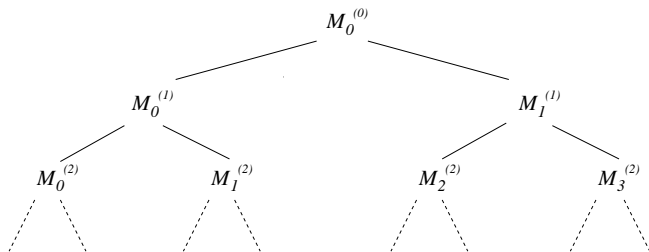
- Rapid multiplication $\mu(n) = O(n \log n \log \log n)$:

$$B(n) = O(n \log^2 n \log \log n)$$

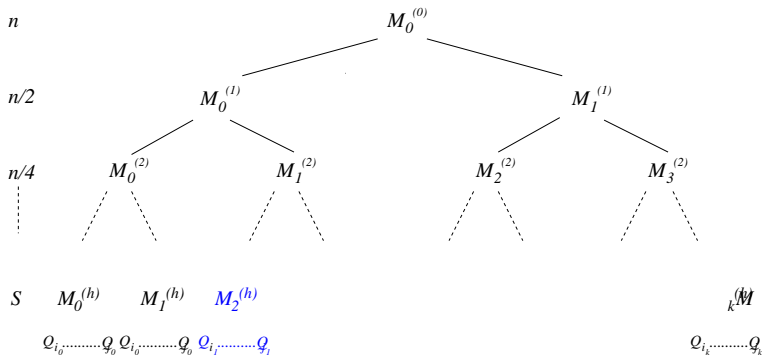
- Multiplications in $\mu(n) = O(n^\alpha)$, $1 < \alpha < 2$ (Karatsuba $\alpha \sim 1.6$, Toom-Cook $\alpha = 1.465$)

$$B(n) = O(n^\alpha)$$

An execution of the algorithm



An execution of the algorithm



Leaves of the tree: interrupted algorithms on integers of size S

Modification of the algorithm

Modification of the threshold S : one can stop the recursion sooner without losing the complexity :

- one has to balance the costs of leaves and nodes

Threshold depending on the multiplication:

- $\mu(n) = O(n^\alpha)$: threshold S of the form

$$S(n) = n^{\alpha-1}$$

- $\mu(n) = O(n \log n \log \log n)$: threshold S of the form

$$S(n) = \log n \log \log n$$

The \mathcal{HG}_α

Algorithm $\mathcal{HG}(U, V)$

$n := \ell(U)$

$S := S_M(n)$

Return $\mathcal{HG}(U, V, S)$

Algorithm $\mathcal{HG}(U, V, S)$

1 $n := \ell(U)$

2 If $n \leq S$ then return $\widehat{\mathcal{E}}_{1/2}(U, V)$

3 $m := \lfloor n/2 \rfloor; k = n - m$

4 $(u, v) := T_m(U, V)$

5 $(c, d, \mathcal{M}_1) := \mathcal{HG}(u, v, S)$

6 $(C; D) := \mathcal{M}_1^{-1}(U, V)$

7 Adjust₁(C, D, \mathcal{M}_1)

8 $(c, d) := T_k(C, D)$

9 $(e, f, \mathcal{M}_2) := \mathcal{HG}(c, d, S)$

10 $(E; F) := \mathcal{M}_2^{-1}(C; D)$

11 Adjust₂(E, F, \mathcal{M}_2)

12 Return $(E, F, \mathcal{M} := \mathcal{M}_1 \cdot \mathcal{M}_2)$

The algorithm $\widehat{\mathcal{E}}_{[\gamma, \delta]}$

- (u, v) une entrée de l'algorithme d'Euclide, $\ell(u) = n$.
- $u_0, u_1, u_2 \dots$ la suite de restes associée
- $Q_1, Q_2, Q_3 \dots$ la suite de quotients correspondante

L'algorithme $\widehat{\mathcal{E}}_{[\gamma, \delta]}$ renvoie la matrice

$$\mathcal{M} = Q_i \cdots Q_{j-2}$$

où i et j sont les premiers indices tels que :

- $\ell(u_i) < n - \gamma \cdot n$
- $\ell(u_j) < \ell(u_i) - \delta \cdot n$

Algorithme \mathcal{HG} et algorithmes interrompus

Chaque matrice apparaissant au cours de l'algorithme s'exprime en terme d'algorithme d'Euclide interrompu à partir de l'entrée initiale (U, V) .

Proposition

- Soit (U, V) une entrée de l'algorithme \mathcal{HG}
- Soit $\mathcal{M}_j^{(i)}$ la matrice renvoyée au jème noeud du niveau i de l'arbre des appels récursifs.
- Cette matrice est également renvoyée par l'algorithme $\widehat{\mathcal{E}}_{[\gamma, \delta]}$ sur entrée (U, V) avec

$$\gamma := j/2^{i+1}, \quad \delta := 1/2^{i+1}.$$

Aux feuilles...

Les paramètres $\gamma(n)$, $\delta(n)$ aux feuilles de l'arbre dépendent de la multiplication utilisée :

- Multiplication en n^α :

$$\delta = n^{\alpha-2}$$

- Multiplication en $n \log n \log \log n$

$$\delta \sim \frac{1}{n}$$

Comportement des algorithmes interrompus

Théorème Soient $\delta(n), \gamma(n)$ des paramètres rationnels avec un dénominateur D qui vérifie $D = n^{1/2}/b(n)$, avec $\lim_n b(n) = +\infty$. Alors

- $\mathbb{P}_n \left[\left| P_{[\gamma, \delta]} - \lfloor \delta P \rfloor \right| > (b(n) \cdot n)^{1/2} \right] = O(2^{-b(n)}),$
- $\mathbb{P}_n \left[\left| \ell_{[\gamma, \delta]}^\beta - (\delta n)^\beta \right| > (b(n) \cdot n)^{1/2} \cdot (\delta n)^{\beta-1} \right] = O(2^{-b(n)})$

Remarques :

- preuve qui fait appel à des résultats plus 'fins' que d'habitude : utilisation de la formule de Perron, étude des séries dans une bande verticale $|\Re(s) - 1| \leq \alpha$
- dans notre cadre, ce théorème s'applique pour une multiplication de la forme $\mu(n) = \Theta(n^{3/2+r})$

Pour l'algorithme \mathcal{HG}

Du théorème précédent et du lien algorithmes interrompus on déduit

Théorème

Soit le jème noeud du ième niveau de l'arbre des appels récursif de l'algorithme \mathcal{HG} . Si le niveau i satisfait $i < [(1/2) - r] \lg n$ pour $r > 0$, alors la taille $\ell_j^{(i)}$ de la matrice $\mathcal{M}_j^{(i)}$ vérifie pour tout $\beta > 1$

$$\mathbb{P}_n \left[\left| (\ell_j^{(i)})^\beta - \left(\frac{1}{2^{i+1}} n \right)^\beta \right| > n^{(1/2)+r} \cdot \left(\frac{1}{2^{i+1}} n \right)^{\beta-1} \right] = O(2^{-nr}),$$

Retour vers \mathcal{HG} I

Soit l'ensemble Ω_n des entrées de l'algorithme \mathcal{HG} . On peut séparer Ω_n en deux sous-ensembles

- un ensemble "ordinaire" : toutes les tailles $\ell_j^{(i)}$ vérifient

$$\left[\left| (\ell_j^{(i)})^\beta - \left(\frac{1}{2^{i+1}} n \right)^\beta \right| \leq \left(\frac{1}{2^{i+1}} n \right)^\beta \cdot \varepsilon_i \right], \quad \varepsilon_i = n^{r-1/2} 2^{i+1}$$

- le complémentaire

Le théorème précédent implique que la probabilité de l'ensemble "exceptionnel" est $O(2^{-n^{r/2}})$.

Cet ensemble est donc négligeable pour l'analyse en moyenne.

Retour vers \mathcal{HG} II

Soit U, V une entrée de l'algorithme appartenant à l'ensemble ordinaire.

- on a $\left[\left| (\ell_j^{(i)})^\beta - \left(\frac{1}{2^{i+1}} n \right)^\beta \right| \leq \left(\frac{1}{2^{i+1}} n \right)^\beta \cdot \varepsilon_i \right]$ avec

$$\varepsilon_i = n^{r-1/2} 2^{i+1}$$

- si la multiplication satisfait $A_1 \cdot n^\alpha \leq \mu(n) \leq A_2 \cdot n^\alpha$ alors on a l'encadrement

$$28A_1 \sum_{i=0}^{h-1} 2^i \left(\frac{1}{2^{i+1}} n \right)^\alpha \cdot [1 - \varepsilon_i] \leq K_\alpha(A, B)$$

$$K_\alpha(A, B) \leq 28A_2 \sum_{i=0}^{h-1} 2^i \left(\frac{1}{2^{i+1}} n \right)^\alpha [1 + \varepsilon_i]$$

- on en déduit

$$A_1 [1 + O(n^{-r})] \leq \frac{E_n[K_\alpha]}{7n^\alpha} \cdot \frac{2^{\alpha-1} - 1}{2^{1-\alpha}} \leq A_2 [1 + O(n^{-r})].$$

- 1 Introduction
 - Integer gcd algorithms
 - State of the art
- 2 Dynamical analysis of euclidean algorithms
 - General principle
 - An example: Euclid algorithm
- 3 Application to accelerated algorithms
 - The Knuth-Schönhage algorithm
 - Interrupted algorithms
- 4 Analyse de l'algorithme LSB
 - Extension continue
 - Produits de matrices aléatoires
- 5 Conclusion

Principe de la division

Analogie pour les entiers à la division de séries formelles:

Utilisation de la valuation 2-adique :

$$\nu(u) = \max\{k, 2^k | u\}, \quad |u|_2 = 2^{-\nu(u)}$$

Euclide (=MSB)	LSB
Entrée: $v > u$ Division: $v = uq + r$ $u > r \geq 0$	Entrée: $ v _2 > u _2$ Division: $v = uq + r$ $ u _2 > r _2 > 0$
$29 = 2 \times 12 + 5$	$29 = \frac{-1}{4} \times 12 + 32$

Le but est de faire apparaître des 0 à la droite des entiers.

L'algorithme LSB

La division LSB

- de la forme $u = vq + r$, $q = \frac{a}{2^k}$, $k \geq 1$, a impair,
 $|a| < 2^k$, $(v', r') = 2^k(v, r)$

- forme matricielle $\begin{pmatrix} v \\ u \end{pmatrix} = \begin{pmatrix} 0 & 2^k \\ 2^k & a \end{pmatrix} \cdot \begin{pmatrix} r' \\ v' \end{pmatrix}$

L'algorithme LSB :

- une suite de divisions

$$\begin{pmatrix} v \\ u \end{pmatrix} = \begin{pmatrix} 0 & 2^{k_1} \\ 2^{k_1} & a_1 \end{pmatrix} \cdots \begin{pmatrix} 0 & 2^{k_p} \\ 2^{k_p} & a_p \end{pmatrix} \cdot \begin{pmatrix} 0 \\ d \end{pmatrix}$$

avec $\text{pgcd}(u, v) = d$.

i	u_i [base 2]	u_i [base 10]	$a_i/2^{k_i}$
0	10001100101000001	72001	
1	111101011000000101000	2011176	-3 / 8
2	11001001101101010000	826192	1 / 2
3	110000110001010000000	1598080	1 / 8
4	10011000111100000000	626432	-1 / 2
5	111010010101000000000	1911296	-1 / 2
6	110000010010000000000	1582080	1 / 2
7	100010001100000000000	1120256	-1 / 2
8	100000101100000000000	2142208	1 / 2
9	110000000000000000000	49152	1 / 4
10	1000001000000000000000	2129920	-1 / 2
11	1000100000000000000000	1114112	1 / 2
12	1100000000000000000000	1572864	-5 / 8
13	10000000000000000000000	2097152	3 / 4

$$\mathbb{E}_N[P] \sim \frac{1}{2 - \gamma_0} \cdot N$$

Extension continue

Extension réelle de $u = vq + r$:

- chaque quotient q définit les applications

$$T_q(x) = \frac{1}{x} - q, \quad h_q(x) = \frac{1}{q + x}$$

- les rationnels $\frac{v}{u}$ n'appartiennent pas à un intervalle borné
- on préfère travailler sur un ensemble compact que sur \mathbb{R}

“Bonne” extension :

- la droite projective réelle, isomorphe au tore

$$J := \left[\frac{-\pi}{2}, \frac{\pi}{2} \right]$$

muni de la topologie projective

- conjugaison de T_q, h_q via l'application tangente :

$$\ell_q(x) = \arctan \circ h_q \circ \tan(x) = \arctan \left(\frac{1}{q + \tan x} \right)$$

Propriétés génératrices

Soit une entrée de l'algorithme

- $$\begin{pmatrix} v \\ u \end{pmatrix} = M_{q_1} \cdots M_{q_p} \cdot \begin{pmatrix} 0 \\ 1 \end{pmatrix} := M_q \cdot \begin{pmatrix} 0 \\ 1 \end{pmatrix}$$

Alors :

- $$\frac{v}{u} = \arctan \ell_{q_1} \circ \cdots \circ \ell_{q_p}(0) := \arctan \ell_q(0)$$

- $$|\det M_q|^{-1} \cdot |\ell'_q(0)| = \frac{\|(0, 1)\|^2}{\|M_q(0, 1)\|^2} = \frac{1}{u^2 + v^2}$$

Système de fonctions itérées

Soit le système suivant :

- $\mathcal{L} := \left\{ \ell_q, \ell_q(y) = \arctan \left(\frac{1}{q + \tan y} \right), \quad q = \frac{a}{2^k} \right\}$
- ℓ_q est choisie avec prob. $\delta_q := |\det M_q|^{-1} = 2^{-2k}$

Système de fonctions itérées

Soit le système suivant :

- $\mathcal{L} := \left\{ \ell_q, \ell_q(y) = \arctan \left(\frac{1}{q + \tan y} \right), \quad q = \frac{a}{2^k} \right\}$
- ℓ_q est choisie avec prob. $\delta_q := |\det M_q|^{-1} = 2^{-2k}$

L'opérateur associé à ce système est

$$\sum_{\ell_q \in \mathcal{L}} \delta_q \cdot |\ell'_q(x)| \cdot f \circ \ell_q(x) = \mathbf{H}[f](x)$$

Système de fonctions itérées

Soit le système suivant :

- $\mathcal{L} := \left\{ \ell_q, \ell_q(y) = \arctan \left(\frac{1}{q + \tan y} \right), \quad q = \frac{a}{2^k} \right\}$
- ℓ_q est choisie avec prob. $\delta_q := |\det M_q|^{-1} = 2^{-2k}$

L'opérateur associé à ce système est

$$\sum_{\ell_q \in \mathcal{L}} \delta_q \cdot |\ell'_q(x)| \cdot f \circ \ell_q(x) = \mathbf{H}[f](x)$$

L'opérateur de transfert est

$$\sum_{\ell_q \in \mathcal{L}} \delta_q^s \cdot |\ell'_q(x)|^s \cdot f \circ \ell_q(x) = \mathbf{H}_s[f](x)$$

Système de fonctions itérées

Soit le système suivant :

- $\mathcal{L} := \left\{ \ell_q, \ell_q(y) = \arctan \left(\frac{1}{q + \tan y} \right), \quad q = \frac{a}{2^k} \right\}$
- ℓ_q est choisie avec prob. $\delta_q := |\det M_q|^{-1} = 2^{-2k}$

L'opérateur associé à ce système est

$$\sum_{\ell_q \in \mathcal{L}} \delta_q \cdot |\ell'_q(x)| \cdot f \circ \ell_q(x) = \mathbf{H}[f](x)$$

L'opérateur de transfert est

$$\sum_{\ell_q \in \mathcal{L}^n} \delta_q^s \cdot |\ell'_q(x)|^s \cdot f \circ \ell_q(x) = \mathbf{H}_s^n[f](x)$$

Séries génératrices et opérateurs

Coût quotient :

- soit un coût c tq $\sum_q \delta_q c(q) < \infty$

- série génératrice : $F_C(s) := \sum_{(u,v) \in \Omega} \frac{C(u,v)}{(u^2 + v^2)^s}$

Opérateur $\mathbf{H}_s^{[c]}$:

- $\mathbf{H}_s^{[c]}[f](x) = \sum_{\ell_q \in \mathcal{L}} \delta_q^s \cdot |\ell'_q(x)|^s \cdot c(q) \cdot f \circ \ell_q(x)$

Lien SG opérateurs

$$F_C(s) = (I - \mathbf{H}_s)^{-1} \circ \mathbf{H}_s^{[c]} \circ (I - \mathbf{H}_s)^{-1}[1](0)$$

Séries génératrices et opérateurs

Complexité en bits

- coût de $u = vq + r$: $\ell_2(v) \times [k(q) + s(q)]$
- série génératrice $F_B(s)$

Dérivation : $\Delta := \frac{1}{\log 2} \frac{-d}{ds}$

$$\bullet \Delta \mathbf{H}_s[f](x) = \sum_{\ell_q \in \mathcal{L}} \delta_q^s \cdot |\ell'_q(x)|^s \cdot \log_2(\delta_q \cdot |\ell'_q(x)|) \cdot f \circ \ell_q(x)$$

Lien SG opérateurs $F_B(s) =$

$$(I - \mathbf{H}_s)^{-1} \circ \mathbf{H}_s^{[k+s]} \circ (I - \mathbf{H}_s)^{-1} \circ \Delta \mathbf{H}_s \circ (I - \mathbf{H}_s)^{-1} [1](0)$$

Produits de matrices aléatoires

Soit l'ensemble de matrices :

$$\mathcal{N} := \left\{ N_q = \begin{pmatrix} 0 & 1 \\ 1 & q \end{pmatrix} ; q = \frac{a}{2^k} ; k \geq 1, a \text{ impair} \in] - 2^k, 2^k[\right\},$$

- N_q est choisie avec prob. $\delta_q = 2^{-2k}$
- exposant de Lyapunov :

$$\gamma = \lim_{n \rightarrow \infty} \frac{1}{n} \mathbb{E} [\log \|N_1 \cdot N_2 \cdot \dots \cdot N_n\|]$$

- Exposant de Lyapunov binaire : $\gamma_0 := \gamma / \log 2$

Opérateur associé

Opérateur associé à cet ensemble :

$$\mathbf{H}_{t,s}[f](x) = \sum_{\ell_q \in \mathcal{L}} \delta_q^t \cdot |\ell'_q(x)|^s \cdot f \circ \ell_q(x), \quad (\mathbf{H}_s = \mathbf{H}_{s,s})$$

Résultats classiques autour de $(t, s) = (1, 0)$
([Fur63, GR85, LP82, BL85])

- opérateur quasi-compact sur l'espace \mathbf{H} des fonctions Hölder
- saut spectral + perturbation : $\lambda(s, t)$ vp dominante isolée
- exposant de Lyapunov existe, donné par

$$\lambda'_s(1, 0) = \gamma$$

Retour vers $(t, s) = (1, 1)$

Relations entre $\mathbf{H}_{1,0}$ et $\mathbf{H}_{1,1}$:

- (relation intégrale) F une primitive de f :

$$\int_a^x \mathbf{H}_{1,1}^p[f](t) dt = \mathbf{H}_{1,0}^p[F](x) - \mathbf{H}_{1,0}^p[F](a)$$

Retour vers $(t, s) = (1, 1)$

Relations entre $\mathbf{H}_{1,0}$ et $\mathbf{H}_{1,1}$:

- (relation intégrale) F une primitive de f :

$$\int_a^x \mathbf{H}_{1,1}^p[f](t) dt = \mathbf{H}_{1,0}^p[F](x) - \mathbf{H}_{1,0}^p[F](a)$$

- (relation de dualité) $\mathbf{H}_{1-s,t}$ = dual de $\mathbf{H}_{s,t}$, d'où

$$\lambda(\mathbf{1} - \mathbf{s}, t) = \lambda(\mathbf{s}, t)$$

Finalemment,

Les opérateurs satisfont les conditions requises

Application du théorème taubérien :

- pôle double pour $F_C(s)$

$$F_C(s) = (I - \mathbf{H}_s)^{-1} \circ \mathbf{H}_s^{[c]} \circ (I - \mathbf{H}_s)^{-1} [1](0)$$

- comportement **linéaire** pour un coût C

Finalemment,

Les opérateurs satisfont les conditions requises

Application du théorème taubérien :

- pôle double pour $F_C(s)$

$$F_C(s) = (I - \mathbf{H}_s)^{-1} \circ \mathbf{H}_s^{[c]} \circ (I - \mathbf{H}_s)^{-1} [1](0)$$

- comportement **linéaire** pour un coût C
- pôle triple pour $F_B(s) =$

$$(I - \mathbf{H}_s)^{-1} \circ \mathbf{H}_s^{[k+s]} \circ (I - \mathbf{H}_s)^{-1} \circ \Delta \mathbf{H}_s \circ (I - \mathbf{H}_s)^{-1} [1](0)$$

- comportement **quadratique** pour la complexité en bits B

Constantes

Constantes issues de l'application $s \mapsto \lambda(s, s)$:

- $\lambda(1 - s, t) = \lambda(s, t)$

$$\lambda'_s(s, s)|_{s=1} = \lambda'_t(1, 1) - \lambda'_s(1, 1) = 2 \log 2 - \gamma = \frac{1}{\log 2} (2 - \gamma_0)$$

Autres constantes :

- décomposition spectrale en $s = (1, 1)$ fait apparaître l'intégrale

$$\int_J H_{1,1}^{[c]}[f](t) dt = \mu(c)$$

Conclusion :

$$\mathbb{E}_N[C] \sim \frac{1}{2 - \gamma_0} \cdot \mu(c) \cdot N$$

$$\mathbb{E}_N[B] \sim \frac{1}{2 - \gamma_0} \cdot \mu(k + s) \cdot \frac{N^2}{2}$$

Conclusion

Analyse dynamique :

- méthode robuste puisqu'elle permet de traiter en profondeur plusieurs types de division
- permet l'étude précise d'algorithmes à la structure complexe
- lien étroit avec la théorie des systèmes dynamiques

Perspectives

- analyse en distribution de LSB
- analyse de LSB diviser pour régner
- passage à des dimensions supérieures (réductions des réseaux)